

กทู๑๑ ๒-๓-๐-๓๑ (๙๗-๓๐)



มหาวิทยาลัยเกษตรศาสตร์

ขอรับรองว่าผลงานวิจัย

ธีรุ่ง

การออกแบบระบบควบคุมแบบ Adaptive Control
เพื่อใช้ในการควบคุมแขน Puma Robot ให้เคลื่อนที่ตามเส้นทางที่กำหนด

โดย

คมกฤษ อาษาภิจ และปรัชญา ประมปราณีรัชต์

ได้ผ่านการพิจารณาว่าจากคณะกรรมการผู้ทรงคุณวุฒิ

สาขาวิชาสถาปัตยกรรมศาสตร์และวิศวกรรมศาสตร์

และได้นำเสนอในการประชุมทางวิชาการของมหาวิทยาลัยเกษตรศาสตร์ ครั้งที่ 49
ระหว่างวันที่ 1 - 4 กุมภาพันธ์ 2554

ปาน

(รองศาสตราจารย์ ดร.พนิต เข็มทอง)

รองอธิการบดีฝ่ายวิชาการ

ประธานคณะกรรมการดำเนินงานจัดประชุมทางวิชาการ ครั้งที่ 49



เรื่องที่ ๔๙ มหาวิทยาลัยราชภัฏราชบุรี



30. สด.วศ.41/O212	ประสิทธิภาพการผลิตเหล็กแท่งโดยใช้การออกแบบการทดลอง กรณีศึกษาโรงงานอุตสาหกรรมผลิตเหล็กกล้า.....	242
	The Efficiency for Producing Billets Using Designed Experiments	
	Case Study of a Steel-making Company	
	โดย ชัยชัย ยงเนตร	
31. สด.วศ.42/O217	อิทธิพลของทังสเทนคาร์บิดที่มีผลต่อการนำไฟฟ้าของทองแดงสำหรับ ทำวัสดุหน้าตั้มผู้ไฟฟ้า.....	253
	Effect of Tungsten Carbide on Electrical Conductivity of Copper for Electrical Contact Materials	
	โดย จุฑามาส บำรุงกุล ธีรพง ใจจนันค์ เกศราพร วงศ์ญู สุรศิริ ใจจนันค์ และเรืองเดช วงศ์รี	
32. สด.วศ.43/O232	การศึกษามูลค่าความเสียหายจากเหตุการณ์ไฟฟ้าขัดข้องของธุรกิจโรงแรม ในประเทศไทย โดยใช้วิถีการวิเคราะห์ความถดถอย.....	261
	The Electrical Outage Cost Study in Hotel Thailand by Regression Analysis	
	โดย ชาร์กตี้ พรุจันเท้า ภานุวรรณ เทียนศรี พระพีพัฒนา กาสนุตระ และวรรัตน์ เป็ตรประภา	
33. สด.วศ.44/O234	Residual Strain Adjustment to Enhance Machinable Glass-Ceramics Forming as a Restorative Dental Material.....	270
	By Pornpimol Kuntajinda Tepiwan Jitwatcharakomol Chana Raksiri and Duangrudee Chaysuwan	
34. สด.วศ.45/O238	การใช้เทคนิคเติมจนเต็ม Fill until Full (FuF) เพื่อการประดิษฐ์ส่วนประกอบ อิเล็กทรอนิกส์.....	278
	The Applications of Fill until Full (FuF) for Electronics Component	
	โดย พิมพ์ศิริพร นาคเจริญ และสุนเดร พรานนท์สอดีตย์	
35. สด.วศ.46/O246	การออกแบบระบบควบคุมแบบ Adaptive Control เพื่อใช้ในการควบคุม แขน Puma Robot ให้เคลื่อนที่ตามเส้นทางที่กำหนด.....	286
	Design of Adaptive Control System for Trajectory Tracking of Puma Robot Arm	
	โดย คมกฤษ ชาษาภิจ และปรัชญา เปรมปราณีรัชต์	

**ผู้ทรงคุณวุฒิภายในมหาวิทยาลัยเกษตรศาสตร์
สาขาวิชาปัตยกรรมศาสตร์และวิศวกรรมศาสตร์**

คณะกรรมการศาสตร์

1. ก้าวธร ถูลชล	2. สุวัฒนา ราดาภินิพ	3. ประسنศร เอียนอนันต์
สาขาวิชาเทคโนโลยีทางอาหาร คณะสถาปัตยกรรมศาสตร์		สาขาวิชาพังเมืองและสถาปัตยกรรมศาสตร์
4. ชนิ Kahn ยิ่งประชูร สาขาวิชาภูมิศาสตร์ปัตยกรรม คณะสถาปัตยกรรมศาสตร์		5. ธนาภรณ์ พังเสน ภาควิชาพืชสวน คณะเกษตร
6. ไหดาวล เพพาร์คิริรัตน์	7. วันดี พินิจารสิน	9. อริตา บุญศรี
ภาควิชาจิตวิทยาและมนุษยศาสตร์		13. วันชัย บอยด์สก็อต
10. สันติ จันทร์บัววงศ์	11. สุราเริ่น สถาปานันท์	12. ศิริพันธุ์ ถุรวารกุณ
14. อรุณรัตน์ ไชยศักดิ์		
ภาควิชาจิตวิทยาและมนุษยศาสตร์		
15. เมตตา เจริญญาบิช	16. พงษ์เดช รัตนาราม	17. มีระพงษ์ พรรณวดี
19. ออร์เรคัทต์ ชาจิร์	20. นันทิยา หาญทุกี้ลักษณ์	18. ไหดาวล คำศรีอุดมราช
23. บุรินา ศุรุษะนากุล		22. มนัส ล้ำคงกระถาง
ภาควิชาจิตวิทยาและมนุษยศาสตร์		
24. สรวงศักดิ์ ลายสุวรรณ	25. อรุณ พงษ์เพ็ชร์	26. นฤมล รุ่งเรือง
28. อรุณรัตน์ ใจกลางวรรณ	29. นุชนา ลักษณ์รุ่งเรือง	27. อรุณรัตน์ รุ่งเรือง
32. อรุณรัตน์ เลิศภารสิริกุล	33. ราชรัตน์ แท้ไทยศาเจริญกิจ	31. วิศิษฐ์ ใจกลางวรรณ
ภาควิชาจิตวิทยาและมนุษยศาสตร์		
34. สมหญิง ไหยนนิมิต	35. ทุมลากา ล้านคริจันทร์	36. ปุญเตียร์ ภาระเกดู
38. ธีรศิริ แก้วตระกูล	39. ศุสิต วนเพทาย	40. ปฐมภารกุณ์ ศรีมงคลธรรม
42. ศิริเรเจน์ ศรีสุปรະເສດຖາ	43. เตชะรัชต์ วรเศวต	44. ศุภลักษณ์ แหงษ์สมบัติ
46. พิลุทธ์ แพ้กัตต์	47. มีติ รุจนาภิการ	48. วินัย พอกษะวัน
ภาควิชาจิตวิทยาและมนุษยศาสตร์		49. ศรีจิตรา เจริญลักษณ์รัตน์
50. ชวพล กิตติชัยการ	51. สังจันทร์ ทัศน์นัยพันธุ์	52. เอกไห วีโรจน์ลักษณ์
54. วิชัย ศิริวัฒน์	55. ณัฐรักษ์ บุญมี	56. สำโรงค์ พุทธพิทักษ์ผล
58. ประพงษ์ ชุนทอง	59. กรณ์สันต์ บุญประเสริฐ	57. จิรชัย จันทร์
ภาควิชาจิตวิทยาและมนุษยศาสตร์		60. วรรธน์ จันทร์
62. อัตตรเดชน์ จิราเดช	63. กัชชารัตน์ สุวรรณวิทยา	64. วินัย เดียงเจริญสิริชัย
ภาควิชาจิตวิทยาและมนุษยศาสตร์		
65. รุ่งรัตน์ กิลลิ่งเพลย์	66. อุรุวัฒน์ สิบسانกุล	67. จุฑารัตน์ พิชิตลักษณ์
69. จันทร์รุ่ง ลิงโนเอ็น	70. วิชัย ศุภลักษณ์	71. จักรพันธุ์ อรำมองพงษ์พันธุ์
ภาควิชาจิตวิทยาและมนุษยศาสตร์ กำแพงแสน		สาขาวิชาจิตวิทยาและมนุษยศาสตร์ กำแพงแสน
72. สมยศ เจริญอักษร		73. ภูมิธรรม แสงราม
สาขาวิชาจิตวิทยาและมนุษยศาสตร์ กำแพงแสน		
74. ทวี งามวิไลกร		

**ผู้ทรงคุณวุฒิภายในมหาวิทยาลัยเกษตรศาสตร์
สาขาวิชาปัตยกรรมศาสตร์และวิศวกรรมศาสตร์**

1. ปราโมทย์ เศษอ่าไฟ	ภาควิชาจิตวิทยาและมนุษยศาสตร์ มหาวิทยาลัยเกษตรศาสตร์ จุฬาลงกรณ์มหาวิทยาลัย
2. จตุพร จุ่นกนกกาญจน์	สาขาวิชาเทคโนโลยีวัสดุ คณะหลังงานสิ่งแวดล้อมและวัสดุ มหาวิทยาลัยเทคโนโลยีราชมงคลล้านนา
3. ภาณิ ขี้ประเสริฐ	สาขาวิชาเทคโนโลยีชีวภาพ คณะทรัพยากรชีวภาพและเทคโนโลยี มหาวิทยาลัยเทคโนโลยีราชมงคลล้านนา
4. สุริขัน ขี้สิทธิ์กัตต์	สาขาวิชาจิตวิทยาและมนุษยศาสตร์ คณะจิตวิทยาและมนุษยศาสตร์ สถาบันเทคโนโลยีพระจอมเกล้าเจ้าคุณทหารลาดกระบัง
5. สมเกียรติ ศุภลักษณ์	สาขาวิชาจิตวิทยาและมนุษยศาสตร์ มหาวิทยาลัยเทคโนโลยีราชมงคลล้านนา
6. ชนินทร์ พิทักษ์ภัล	คณะสถาปัตยกรรมศาสตร์ มหาวิทยาลัยเทคโนโลยีราชมงคลล้านนา
7. ขี้สิทธิ์ ดำเนินกิตติกุล	คณะสถาปัตยกรรมศาสตร์ มหาวิทยาลัยศิลปากร
8. จำนำณุ บุญญาลุหิพิพัฒน์	คณะสถาปัตยกรรมศาสตร์ มหาวิทยาลัยอนันันต์
9. พยุงกัตต์ จุลย์เสน	สาขาวิชาจิตวิทยาและมนุษยศาสตร์ มหาวิทยาลัยราชภัฏเชียงใหม่
10. อุนวัฒน์ อาจนานะเล็ก	ภาควิชาจิตวิทยาและมนุษยศาสตร์ สถาบันเทคโนโลยีราชมงคลล้านนา
11. ธีรธรรม บุณยะกุล	ภาควิชาจิตวิทยาและมนุษยศาสตร์ มหาวิทยาลัยเทคโนโลยีราชมงคลล้านนา
12. ศิริวรรณ บุญลักษณ์	ภาควิชาจิตวิทยาและมนุษยศาสตร์ มหาวิทยาลัยเทคโนโลยีราชมงคลล้านนา
13. สิริลักษณ์ เอียรารักษ์	สาขาวิชาเทคโนโลยีสิ่งแวดล้อม คณะหลังงานสิ่งแวดล้อมและวัสดุ มหาวิทยาลัยเทคโนโลยีราชมงคลล้านนา
14. ปานพันธ์ บัวรี่	ภาควิชาจิตวิทยาและมนุษยศาสตร์ มหาวิทยาลัยเชียงใหม่
15. อุทธนา ทำสุวรรณ	ภาควิชาจิตวิทยาและมนุษยศาสตร์ มหาวิทยาลัยเชียงใหม่

การออกแบบระบบควบคุมแบบ ADAPTIVE CONTROL เพื่อใช้ในการควบคุมแขน
PUMA ROBOT ให้เคลื่อนที่ตามเส้นทางที่กำหนด

DESIGN OF ADAPTIVE CONTROL SYSTEM FOR TRAJECTORY TRACKING OF PUMA
ROBOT ARM

คุณกฤษ อาษาภิจิ¹ และ ปรัชญา เพรมปรานีรัช¹

Khomkrit Asakij¹ and Pradya Prempraneerach¹

บทคัดย่อ

วิทยานิพนธ์นี้ ว่าด้วยการออกแบบ控制系统แบบตัวอย่าง Adaptive Control ที่ไม่ใช้แบบอ่อนตัวให้ควบคุมแขนหุ่นยนต์ที่เป็นแบบจำลองทางคณิตศาสตร์ที่ไม่มีการเคลื่อนที่ และได้ใช้ライเซนเชนท์ของหุ่นยนต์ในการศึกษาข้อจำกัดของหุ่นยนต์ที่มีอยู่ ไปยังอิฐที่หนึ่ง ตามที่กำหนดได้อย่างมีประสิทธิภาพตามที่ออกแบบไว้

โดยการศึกษาเริ่มจากทำการวางแผนแบบจำลองโดยใช้ตัวควบคุมแบบปรับตัวได้ Model Reference Adaptive Control (MRAC) ในรูปแบบอ้างอิงโดยใช้ Adaptive Control ในการจำลองเพื่อประมาณค่าพารามิเตอร์ที่เราต้องการ พร้อมกับแบบจำลองแขนหุ่นยนต์แบบสองข้อต่อ ทางคณิตศาสตร์ทั้งจากศึกษาจากแบบจำลองทางคณิตศาสตร์ของแขนกล และตัวควบคุมแล้วจึงนำไปเปรียบเทียบเพื่อให้การทำงานของแขนกลและปลายของแขนกลแบบจำลองทางคณิตศาสตร์เคลื่อนที่ตามเส้นทางที่กำหนดได้อย่างแม่นยำ

ABSTRACT

This thesis focuses on a design of adaptive controller for a trajectory control of a robot arm that is modeled by nonlinear mathematic equations such that the robot end effector can perform a pick-and-place operation effectively according to design specification.

This study begins with a simulation using the Model Reference Adaptive Control (MRAC) along with a reference model to estimate unknown plant parameters. Also, motion of the two-link robot arm is simulated for a trajectory following task. After studying mathematic model of robot arm, the MRAC controller will be implemented for trajectory tracking tasks.

Key Word: Model Reference Adaptive Control (MRAC), Adaptive Control, Robot Arm

E-mail address: Khomkrit@hotmail.com

¹ ภาควิชาวิศวกรรมเครื่องกล คณะวิศวกรรมศาสตร์ มหาวิทยาลัยเทคโนโลยีราชมงคลธัญบุรี

Department of Mechanical Engineering, Faculty of Engineering, Rajamangala University of Technology Thunyaburi.

คำนำ

ในปัจจุบันเทคโนโลยีด้านต่างๆ ได้เจริญก้าวหน้าไปมากโดยเฉพาะในโรงงานอุตสาหกรรมได้มีการนำเครื่องจักรและอุปกรณ์อัตโนมัติต่างๆ มาใช้งานแทนแรงงานคนทั้งในด้านการผลิตและรับส่งข้อมูลส่วนต่างๆ ภายในโรงงานล้ำหน้ารับโรงงานอุตสาหกรรมที่มีความต้องการความแม่นยำสูง จึงให้ความสำคัญเป็นอย่างมากกับเครื่องจักรที่นำมาใช้ดังนั้นระบบควบคุมที่ต้องมีความสำคัญและระบบควบคุมแบบต่างๆ ก็มีประสิทธิภาพที่แตกต่างกันออกไปแล้วแต่ประเภทและการนำไปใช้งาน จึงทำให้มีระบบการควบคุมต่างๆ ที่สำคัญมากขึ้น ดังจะเห็นได้จากการนำระบบการควบคุมไปใช้ในอุตสาหกรรมต่างๆ ต่อมาระบบมีความซับซ้อนมากขึ้นซึ่งส่วนใหญ่เป็นระบบที่ไม่มีสิ่งใดยุ่งกวน เช่น การควบคุมเชิงปุ่มยังต้องควบคุมอีกด้วย หรือจานวนคอมพิวเตอร์ในศักยภาพของกลไกในด้านอุตสาหกรรมที่มีความซับซ้อน จึงเกิดทดสอบภัยภัยความเสี่ยง อาทิ ไฟฟ้าที่ต้องทดสอบความปลอดภัยตามมาตรฐานที่ต้องการ รวมถึงการติดตั้งอุปกรณ์ที่ต้องคำนึงถึงความปลอดภัยของผู้ใช้งาน ที่มีชื่อ Louie L. Whitcomb และคณะ [3] ได้ศึกษาการทดสอบไฟฟ้าเบื้องต้นของอุปกรณ์ควบคุมและกลไกตัวพื้นฐานตัวแรกที่มีลักษณะเช่นเดียวกับที่มีอยู่ในระบบควบคุมนี้แล้วให้มีการแก้ไขรายวิธีโดยใช้ของประดับด้วยเส้นในเวลาเดียวกันของแขนหุ้นยนต์ที่หุ้นที่ป้องบังอยู่ในจุดที่ติดต่อกับอิฐหน้าเรียบแข็ง ดูคลิปส์คลิปที่เกี่ยวกับตัวแบบผลลัพธ์ไม่เป็นเด่นตรงสำคัญซึ่งที่ยอมรับได้ไปแล้วพิสูจน์ได้สำหรับแขนหุ้นยนต์การทดสอบเชิงเบรินเพียงแค่สิ่งที่ให้เห็นว่าเครื่องควบคุมที่นี้ฐานตัวแบบนี้รับตัวได้แบบใหม่จึงให้มีสมรรถภาพของหัวเครื่องควบคุมที่นี้ฐานการไม่มีตัวแบบ(นิยมไม่แตก)และแบบปรับตัวไม่ได้ที่เห็นออกว่าพิสัยการว่างของสภาพการปฏิบัติงาน John T. Wen และคณะ [4] ได้ศึกษาการทำงานแบบลือภูนพอดีใช้พลังงานการทำงานแบบลือภูนอฟกับพลังงานศักย์ตัดแปลง มาตรฐานเครื่องควบคุมที่เน้นเจ้าชี้กำลัง เมื่อมีแรงดึงดูดท่านเบนหันต์และแบบคูลลอนบ์ และความเนิดพุ่ดชาดของพารามิเตอร์ของตัวแบบเกิดขึ้นการตัดแปลงแบบเดือนของกฎควบคุมจึงถูกนำเสนอเพื่อเพิ่มสภาพการทำงานและยกระดับวงแหวนรอบนอก การควบคุมการปรับตัวมีตัวแหน่งอยู่ภายในโครงสร้างเดียวกันเช่นกัน การกำหนดเส้นตัวร่องในพารามิเตอร์ซึ่งถูกได้มาและกฎควบคุมการปรับตัวคงที่เชิงเด่นกำกับระดับโลกก็ได้รับมาโดยการแทนที่พารามิเตอร์ตัวแบบในกฎควบคุมแบบไม่ปรับตัวโดยการประมวลค่า Abd Manan Ahmad และคณะ [5] ได้นำเสนอแบบจำลองของตัวควบคุมเครื่องข่ายปั๊วสถานล้ำหน้ารับแทนหุ้นยนต์สามารถการเขียนต่อ เครื่อข่ายนี้อยู่บนพื้นฐานแบบที่การตัดตัวของโครงสร้างแบบตัดแบ่ง ในตัวแบบที่นำเสนอด้วยข้อความที่ต้องการ จึงตัดแบ่งถูกเชื่อมต่อกัน Jung Hua Yang และคณะ [6] ได้ศึกษาปัญหาการควบคุมหุ้นยนต์ที่ยืนยันได้โดยผังควบคุมแบบไม่เชิงเด่น ได้ถูกนำเสนอเป็นการแก้ปัญหาต่อปัญหาการควบคุมโดยเฉพาะอย่างยิ่ง เพื่อจัดการกับความไม่แน่นอนของตัวแบบที่มีอยู่ เนื่องจากหุ้นตัวได้ของกฎควบคุมแบบไม่เชิงเด่นนี้จึงถูกนำเสนอ จากนั้นการพิสูจน์ความสามารถที่ของระบบบางชิ้นปั๊วสถาปัตยกรรมจึงถูกมอบให้ทางการวิเคราะห์แบบลือภูนอฟ และยังมีการจัดให้มีผลการทดสอบของย่างกว้างขวาง เพื่อสถาปัตย์และวิเคราะห์ของเครื่องควบคุม

เนื่องจากในระบบควบคุมในโรงงานอุตสาหกรรมโดยส่วนมากแล้วจะใช้ PID Controller มาทำการควบคุมซึ่งมันก็ทำงานได้ดีในช่วงที่เรา Liberalization รอบๆ คุณทำงานแต่เมื่อได้ก้าวมาถึงจุดทำงานของเราเริ่มมีการเปลี่ยนแปลงหรือว่า parameter บางตัวมีการเปลี่ยนแปลง เช่น มวลของระบบ, ความเย็น และอื่นๆ หรืออาจมี parameter ที่เราไม่ได้นำมาคิดมันจะทำให้ controller ที่เราออกแบบไปเริ่มทำงานไม่ได้หรือไม่สามารถทำงานได้ เลย ดังนั้น adaptive control จึงเป็นอีกทางเลือกหนึ่งที่นำมาใช้แก้ปัญหานี้ โดยที่ทัวไปแล้วการควบคุมแบบปรับตัว

แบบอ้างอิงนั้นประกอบไปด้วย 4 ส่วนได้แก่ ระบบ (plant) ที่ประกอบไปด้วยพารามิเตอร์ที่ไม่รู้จัก ตัวแบบอ้างอิง (reference model) เพื่อการบ่งชี้ผลลัพธ์ที่ต้องการของระบบควบคุม กฎการควบคุมผลลัพธ์ข้อกลับ (feedback control law) ที่ประกอบไปด้วยพารามิเตอร์ที่ปรับได้ และกลไกการปรับตัว (adaptation mechanism) สำหรับการอัปเดตพารามิเตอร์ที่ปรับได้

ดูคลิป [น้ำหนักตัวของมนุษย์](#) ของการควบคุมแบบ Adaptive control คือมันสามารถปรับ gain ของตัวเองได้ถ้าเมื่อระบบเปลี่ยนแปลง parameter ดังนั้นค่า gain จะเปลี่ยนแปลงเป็นตามความเหมาะสม เมื่อจากมันจะนำเข้าค่าความผิดพลาดที่ได้จาก plant จริงมาเปรียบเทียบกับ model ที่เรารอ ก็จะเปลี่ยน gain ให้มีค่าความผิดพลาดน้อยลง

วิธีการดำเนินงานวิจัย

วิเคราะห์สมการการเคลื่อนที่ของหุ่นยนต์โดยพิจารณาแขนที่เป็นแบบรวม มีการเขียนต่อ 2 ส่วน และมีส่วนเพิ่มต่อ (รูปที่ 1) ซึ่งตำแหน่งนั้นสามารถอธิบายได้ด้วย 2-vector q ของมุมร่วม และ Input ของ Actuator ประกอบไปด้วย 2-vector τ ของแรงบิด (Torque) ที่ประยุกต์ใช้ให้ข้อต่อของแขน พลวัตของแขนแบบพื้นๆ นั้น เป็นแบบปั่นผุซึ่งเส้นและสามารถเขียนในรูปแบบที่ไวไปได้ดังนี้

$$H(q)\ddot{q} + C(q, \dot{q})\dot{q} + g(q) = \tau \quad (1)$$

โดยที่ $H(q)$: เป็นแมทริกซ์ความเรื่องของแขนหุ่นยนต์ 2×2 (ซึ่งเป็นจำนวนเต็มที่เป็นบางสมมาตร)

$C(q, \dot{q})\dot{q}$: เป็น 2-vector ของแรงบิด (torque) ที่เคลื่อนเข้าหากันยังกลางและแรงบิด Coriolis

$g(q)$: เป็น 2-vector ของแรงบิดที่มาจากการดึงดูดของโลก

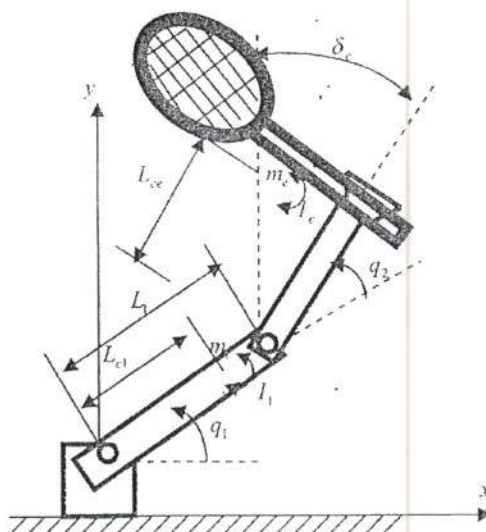


Figure 1 An articulated two-link manipulator

1. วิเคราะห์สมการการเคลื่อนที่ของหุ่นยนต์ด้วย PD Control สมการไดนามิกสามารถเขียนได้ดังนี้

$$\begin{bmatrix} H_{11} & H_{12} \\ H_{21} & H_{22} \end{bmatrix} \begin{bmatrix} \ddot{q}_1 \\ \ddot{q}_2 \end{bmatrix} + \begin{bmatrix} -h\dot{q}_2 & -h(\dot{q}_1 + \dot{q}_2) \\ h\dot{q}_1 & 0 \end{bmatrix} \begin{bmatrix} \dot{q}_1 \\ \dot{q}_2 \end{bmatrix} = \begin{bmatrix} \tau_1 \\ \tau_2 \end{bmatrix}$$

จากสมการไดนามิกของแขนกลสามารถจัดต่อให้อยู่ในรูปสมการ (1)

$$H_{11}\ddot{q}_1 + H_{12}\ddot{q}_2(-h\dot{q}_2 - h(\dot{q}_1 + \dot{q}_2))\dot{q}_1 = \tau_1$$

$$H_{21}\ddot{q}_1 + H_{22}\ddot{q}_2(-h\dot{q}_1)\dot{q}_2 = \tau_2$$

หากค่า \ddot{q}_1 และ \ddot{q}_2 จากการแก้สมการทางคณิตศาสตร์โดยใช้วิธีอินเวอร์สเมทริกซ์ เพื่อแก้ระบบ

$$\begin{bmatrix} \ddot{q}_1 \\ \ddot{q}_2 \end{bmatrix} = \begin{bmatrix} H_{11} & H_{12} \\ H_{21} & H_{22} \end{bmatrix}^{-1} \left[-\begin{bmatrix} C_{11} & C_{12} \\ C_{21} & C_{22} \end{bmatrix} \begin{bmatrix} \dot{q}_1 \\ \dot{q}_2 \end{bmatrix} + \begin{bmatrix} \tau_1 \\ \tau_2 \end{bmatrix} \right]$$

$$\ddot{q}_1 = inv(H_{11}) \{-C_{11}\dot{q}_1 - C_{12}\dot{q}_2 + \tau_1\} + inv(H_{21}) \{-C_{21}\dot{q}_1 - C_{22}\dot{q}_2 + \tau_2\}$$

$$\ddot{q}_2 = inv(H_{22}) \{-C_{11}\dot{q}_1 - C_{12}\dot{q}_2 + \tau_1\} + inv(H_{12}) \{-C_{21}\dot{q}_1 - C_{22}\dot{q}_2 + \tau_2\}$$

หาค่า τ_1 และ τ_2 จาก

$$\begin{bmatrix} \tau_1 \\ \tau_2 \end{bmatrix} = -[K_p \begin{bmatrix} \tilde{q}_1 \\ \tilde{q}_2 \end{bmatrix} - K_D \begin{bmatrix} \dot{q}_1 \\ \dot{q}_2 \end{bmatrix}]$$

$$\tilde{q}_1 = q_1 - q_{d1}$$

$$\tilde{q}_2 = q_2 - q_{d2}$$

นำสมการต่างๆที่ได้จากการหัวงต้นมาแทนลงในแบบจำลอง PD Control โดยกำหนดค่า Function Dynamic Model โดยใช้ Matlab/Simulink ในการจำลองเพื่อนำค่าการเคลื่อนที่ของแขนของหุ่นยนต์ดังนี้

$$H_{11} = a_1 + 2a_3 \cos q_2 + 2a_4 \sin q_2, H_{12} = H_{21} = a_2 + a_3 \cos q_2 + a_4 \sin q_2$$

$$H_{22} = a_2, h = a_3 \sin q_2 - a_4 \cos q_2$$

โดยให้

$$a_1 = I_1 + m_1 I_{cl}^2 + I_e + m_e I_{ce}^2 + m_e I_1^2, a_2 = I_e + m_e I_{ce}^2$$

$$a_3 = m_e I_1 l_{ce} \cos \delta_e, a_4 = m_e I_1 l_{ce} \sin \delta_e$$

โดยนิยมไว้ในตัวอย่างนี้คือ

$$m_1 = 1, l_1 = 1, m_e = 2, \delta_e = 30^\circ, I_1 = 0.12, I_{cl} = 0.5, I_e = 0.25, I_{ce} = 0.6, q_1 = 0, q_2 = 0, q_{d1} = 60^\circ, q_{d2} = 90^\circ$$

$K_D = 100, K_p = 20K_D$ เมื่อแก้สมการแล้วจะได้ค่า $H_{11}, H_{12}, H_{21}, H_{22}$ เพื่อนำไปหาค่าการเคลื่อนที่ของหุ่นยนต์

แล้วใช้โปรแกรม Matlab/Simulink จำลองการเคลื่อนที่ของแขนของหุ่นยนต์และค่าของแรงบิด (torque) เป็นแบบ

PD Control ตามที่กำหนดไว้

2. วิเคราะห์สมการการเคลื่อนที่ของหุ่นยนต์ด้วย Adaptive Control (MRAC)

Parameter Error: $\tilde{\alpha} = \hat{\alpha} - \alpha$

Joint Error: $s = \tilde{q} + \Lambda \tilde{q}$ โดยที่ $\tilde{q} = q - q_d$

จากพฤษฎีของ Lyapunov Function พลังงานหันหมอดจะเท่ากับพลังงานจริงนี่หากกับพลังงานศักดิ์และค่าที่ได้จะต้องมากกว่าศูนย์เสมอ จึงได้สมการเป็น

$$V = \frac{1}{2} [s^T H s] + \frac{1}{2} [\tilde{a}^T \Gamma^{-1} \tilde{a}]$$

หา

$$\dot{V} = \frac{1}{2} \dot{s}^T H s + \frac{1}{2} s^T H \dot{s} + \frac{1}{2} \dot{s}^T H s + \frac{1}{2} \dot{\tilde{a}}^T \Gamma^{-1} \tilde{a} + \frac{1}{2} \tilde{a}^T \Gamma^{-1} \dot{\tilde{a}} \quad (1)$$

จะได้

$$s = \tilde{q} + \Lambda \tilde{q} = \tilde{q} - \dot{q}_d + \Lambda \tilde{q} \quad \text{โดยที่ } \dot{q}_r = \dot{q}_d - \Lambda \tilde{q}$$

$$\dot{s} = \ddot{\tilde{q}} + \Lambda \ddot{\tilde{q}} = \ddot{\tilde{q}} - \ddot{q}_r + \Lambda \ddot{\tilde{q}} \quad (2)$$

จากสมการของ Robot

$$H\ddot{q} + C\ddot{q} + g = \tau \quad (3)$$

$$H\ddot{q} = \tau - C\ddot{q} - g \quad \text{โดยที่ } \ddot{q} = s + \dot{q}_r$$

$$H\ddot{q} = \tau - C(s + \dot{q}_r) - g \quad (3a)$$

จากสมการที่ (1) แทน ลงในสมการที่ (2)

$$\dot{V} = s^T H(\ddot{q} - \ddot{q}_r) + \frac{1}{2} s^T \dot{H} s + \dot{\tilde{a}}^T \Gamma^{-1} \tilde{a} \quad (4)$$

แทนค่าสมการ (3a) ลงในสมการ (4)

$$\dot{V} = s^T (\tau - C(s + \dot{q}_r) - g) - s^T H \dot{q}_r + \frac{1}{2} s^T \dot{H} s + \dot{\tilde{a}}^T \Gamma^{-1} \tilde{a}$$

$$\dot{V} = -s^T C s + \frac{1}{2} s^T \dot{H} s + s^T (\tau - C \dot{q}_r - g) - s^T H \dot{q}_r + \dot{\tilde{a}}^T \Gamma^{-1} \tilde{a}$$

$$\dot{V} = s^T (\tau - H \dot{q}_r - C \dot{q}_r - g) + \dot{\tilde{a}}^T \Gamma^{-1} \tilde{a} \quad \text{โดยที่ } H \dot{q}_r + C \dot{q}_r + g = Y a$$

$$\dot{V} = s^T (\tau - Y a) + \dot{\tilde{a}}^T \Gamma^{-1} \tilde{a} \quad (5)$$

$$\text{Control Law: } \tau = Y \hat{a} - K_D s \quad (6)$$

แทนสมการ (6) ลงในสมการ (5)

$$\begin{aligned} \dot{V} &= s^T (Y \hat{a} - Y a - K_D s) + \dot{\tilde{a}}^T \Gamma^{-1} \tilde{a} \\ \dot{V} &= s^T Y \hat{a} - s^T Y a - s^T K_D s + \dot{\tilde{a}}^T \Gamma^{-1} \tilde{a} \end{aligned} \quad (7)$$

Adaptation Law: $\dot{\hat{a}} = -\Gamma Y^T s$

$$\dot{\hat{a}} = -s^T Y \Gamma^T \quad (8)$$

แทนสมการ (8) ลงในสมการ (7)

$$\dot{V} = -s^T K_D s + s^T Y \hat{a} + (-s^T Y \Gamma^T)(\Gamma^{-1} \tilde{a})$$

$$\dot{V} = -s^T K_D s$$

จากสมการข้างต้นเรากำหนดค่า Parameter ดังนี้

$\Gamma = diag[0.03 \ 0.05 \ 0.1 \ 0.3], a_1 = 3.3, a_2 = 0.97, a_3 = 1.04, a_4 = 0.6, q_{d1}(t) = 30^\circ(1 - \cos(2\pi t))$
 $q_{d2}(t) = 45^\circ(1 - \cos(2\pi t))$ เพื่อแก้สมการเคลื่อนที่ด้วยค่า Control Law และ Adaptation Law นี้ไปทำการประมวลค่าพารามิเตอร์ที่เรายังไม่รู้และทำการเคลื่อนที่ของหุ่นยนต์โดยใช้โปรแกรม Matlab/Simulink จำลองการเคลื่อนที่ของแขนของหุ่นยนต์แบบ Adaptive control (MRAC) ตามที่กำหนดให้

ผลการทดลอง

1. ทดลองแก้สมการการเคลื่อนที่ของแขนของหุ่นยนต์จากค่าพารามิเตอร์ต่างๆ ตามที่ได้กำหนดให้ในหัวข้อ
- 2.1 เพื่อศึกษาการเคลื่อนที่ของแขนของหุ่นยนต์และค่าของแรงบิด โดยใช้การควบคุมแบบ PD Control ภายใต้เงื่อนไขที่กำหนด $q_{d1} = 30^\circ(1 - \cos(2\pi t))$ และ $q_{d2} = 45^\circ(1 - \cos(2\pi t))$
- 2.2 เพื่อศึกษาการเคลื่อนที่ของแขนของหุ่นยนต์และค่าของแรงบิด (torque) โดยใช้การควบคุมแบบ Adaptive control (MRAC) และเส้นทางการเคลื่อนที่ที่ต้องการเป็น $q_{d1}(t) = 30^\circ(1 - \cos(2\pi t))$ และ $q_{d2}(t) = 45^\circ(1 - \cos(2\pi t))$

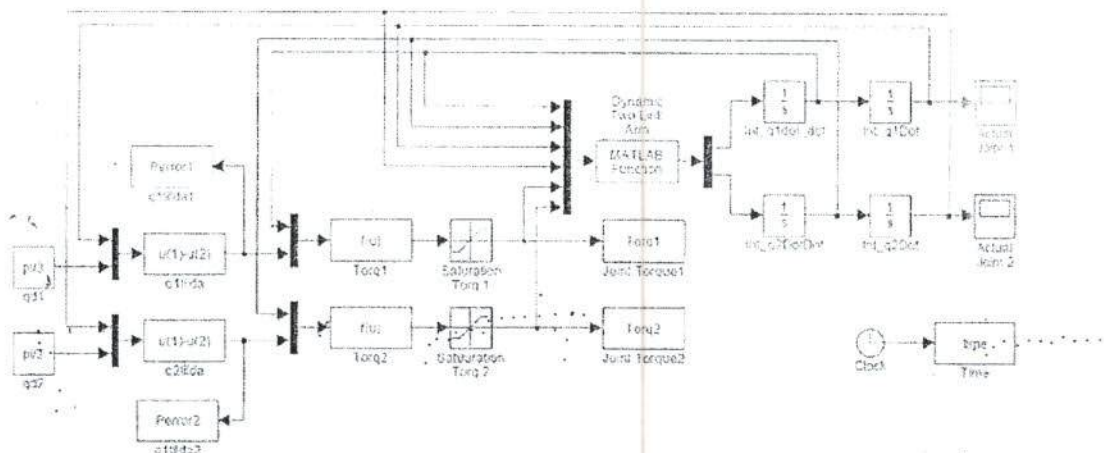


Figure 2 A model of PD Control two-link robot arm to solve equation of trajectory by Matlab/Simulink

2. ทดลองแก้สมการการเคลื่อนที่ของแขนของหุ่นยนต์จากค่าพารามิเตอร์ต่างๆ ตามที่ได้กำหนดให้ในหัวข้อ
- 2.2 เพื่อศึกษาการเคลื่อนที่ของแขนของหุ่นยนต์และค่าของแรงบิด (torque) โดยใช้การควบคุมแบบ Adaptive control (MRAC) และเส้นทางการเคลื่อนที่ที่ต้องการเป็น $q_{d1}(t) = 30^\circ(1 - \cos(2\pi t))$ และ $q_{d2}(t) = 45^\circ(1 - \cos(2\pi t))$

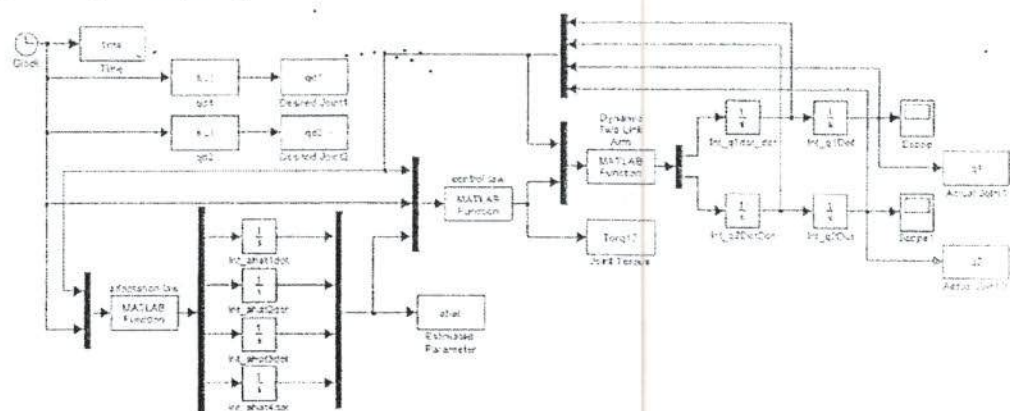


Figure 3 A model of MRAC two-link robot arm to solve equation of trajectory by Matlab/Simulink

3. กราฟใน Figure 4 แสดงการเปรียบเทียบระหว่างค่าความผิดเพลาดของตำแหน่งและแรงบิดของ Link 1 และ Link 2 ระหว่าง PD Control กับ Adaptive Control (MRAC)

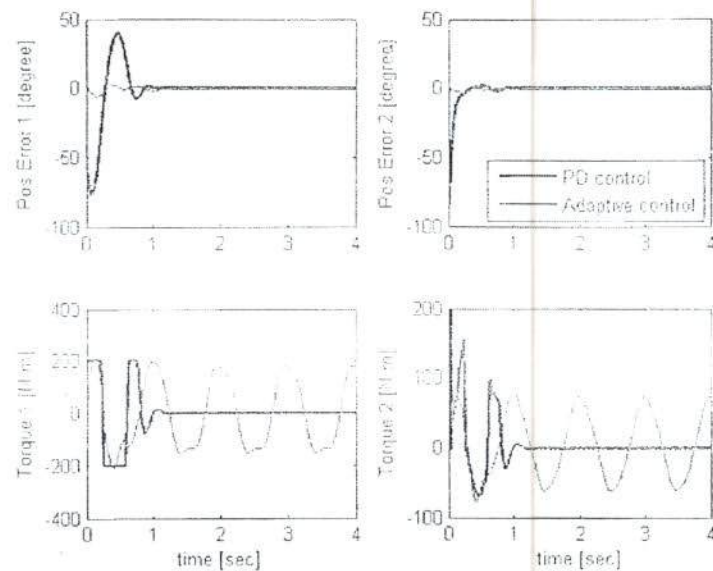


Figure 4 Comparison of position errors link 1 and link 2 (Top Row) between PD Control with Adaptive Control, and control torques link 1 and link 2 (Bottom Row)

4. กราฟใน Figure 5 แสดงการเปรียบเทียบระหว่างการประมาณค่าพารามิเตอร์ของ PD control กับ Adaptive control

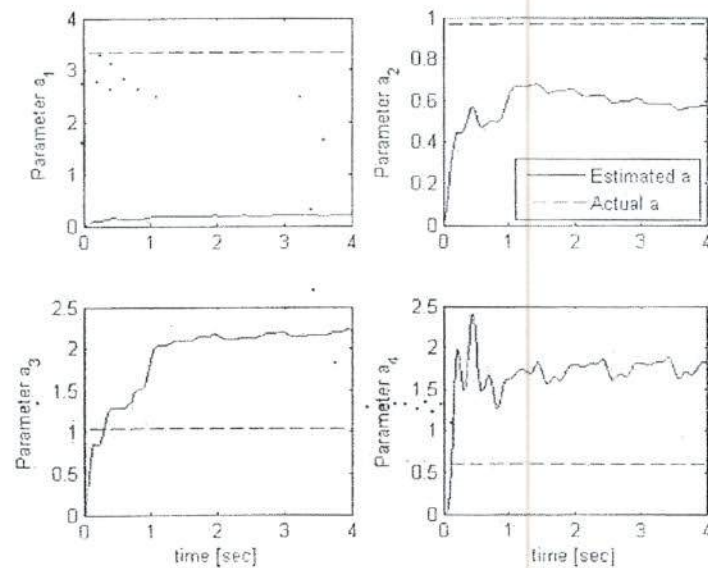


Figure 5 Comparison of parameter estimates $\hat{a}_1, \hat{a}_2, \hat{a}_3, \hat{a}_4$ (blue) and a_1, a_2, a_3, a_4 (red)

ผลจากการออกแบบระบบควบคุมแบบ Adaptive Control เพื่อใช้ในการควบคุมแขน Puma Robot ให้เคลื่อนที่ตามเส้นทางที่กำหนด โดยใช้โปรแกรม Matlab/Simulink จำลองสมการทางคณิตศาสตร์ของแขนกล โดย

ใช้แบบควบคุม Adaptive control ผลการทดลองที่ได้จะเห็นว่ากราฟที่ได้ (Figure 4) มาันเป็นกราฟของตัวแปร Error ของ Link1 และ Error ของ Link2 โดยเส้นกราฟจะมีค่าความผิดพลาดเข้าใกล้ 0 ตามที่เรากำหนดมุ่งค่าของ Joint 1 และ Joint 2 ที่ Link 1 จะอยู่ที่ตำแหน่ง 60° และ Link 2 จะอยู่ที่ตำแหน่ง 90° ส่วนกราฟการควบคุม เชิงบิดของ Link 1 และการควบคุมเชิงบิดของ Link 2 ขึ้นเมื่อเราใช้ Input ค่า K_p, K_d ทำให้ Joint เคลื่อนที่เข้าหาลงมาที่เรากำหนด

สรุป

จากการนำเสนอการออกแบบระบบควบคุมแบบ Adaptive Control เพื่อใช้ในงานควบคุมแขนกลที่มีแรงต้านสูง ที่สำคัญที่สุด คือความสามารถในการตัดสินใจ ที่ดีและเร็วที่สุด จึงสามารถตัดสินใจได้โดยอัตโนมัติ ดังที่ PD Control ที่ Adaptive Control ไม่เคยมีความสามารถที่จะตัดสินใจได้โดยอัตโนมัติ แต่ Adaptive Control นั้นจะมีค่า Error และแรงบิดที่จำเป็นที่จะขับเคลื่อนที่แบบ PD Control ดังนั้น ทางเรื่องนี้ห้ามควบคุมโดย Adaptive Control หมายความว่าจะน้ำมานำควบคุมด้วยการทดลองเคลื่อนที่ของแขนกลมากกว่าแบบ PD Control โดยแบบจำลองทางคณิตศาสตร์นี้สามารถนำไปประยุกต์ใช้ในงานทางอุตสาหกรรมและสามารถนำไปใช้เป็นกระบวนการในการเพิ่มเติมสมรรถภาพของตัวควบคุมต่างๆได้

เอกสารอ้างอิง

- [1] ผศ.ดร.สุภารัตน์ ลักษณะเจริญ. (2548). วิศวกรรมหุ่นยนต์ Robotics Engineering. กรุงเทพฯ: สำนักพิมพ์ ส.อ.ท. (ไทย-ญี่ปุ่น)
- [2] Jean-Lacques E.Slotine, Applied Nonlinear Control. New Jersey: Prentice-Hall
- [3] Louis L. Whitcomb, Suguru Arimoto, Tomohide Naniwa, and Fumio Ozaki, "Adaptive Model-Based Hybrid Control of Geometrically Constrained Robot Arms" IEEE Transactions on Robotics and Automation, Vol.13, No.1, February 1997.
- [4] John T. Wen, Kenneth Kreutz, and David S. Bayard, "A New Class of Energy Based Control Laws for Revolute Robot Arms: Tracking Control, Robustness Enhancement and Adaptive Control" Jet Propulsion Laboratory, California Institute of Technology, 4800 Oakgrove Dr., Mail Stop 198-330 Pasadena, CA 91109.
- [5] Abd Manan Ahmad, Lee Ing Chen, and Fatimah Mohamad, "Simulation of Stable-Adaptive Control of Robot Arm Using Self-organizing Neural Network" 2002 Student Conference on Research and Development Proceedings, Shah Alam, Malaysia.
- [6] Jung Hua Yang, Feng Li Lian, and Li Chen Fu, "Nonlinear Adaptive Control for Flexible Link Manipulators" IEEE Transactions on Robotics and Automation, Vol.13, No.1, February 1997